

การประมาณค่าอัตราการไหลของของไอลร้อนในท่อจากการวิเคราะห์การสูญเสียความร้อน

Estimation of Hot Fluid Mass Flow Rate in Duct by Heat loss Analysis

ทันใจเกียรติ เกียรติศิริโรจน์และธีรวัฒน์ ศรีสุวรรณ
ภาควิชาจัตุรัมย์ คณะวิศวกรรมศาสตร์ มหาวิทยาลัยเชียงใหม่ จ.เชียงใหม่ 50200

Tanongkiat Kiatsiriroat and Theechawan Srisuwann
Department of Mechanical Engineering Faculty of Engineering Chiang Mai University Chiang Mai 50200

บทคัดย่อ

งานวิจัยนี้ใช้เทคนิคของการสูญเสียความร้อนจากของไอลในท่อสู่สิ่งแวดล้อม โดยการวัดอุณหภูมิไปตามแนวของผิวท่อ และผิวนอกของท่อน รวมทั้งอุณหภูมิอากาศรอบๆ จากคุณสมบัติของจำนวนความร้อนและขนาดของท่อ จะสามารถประเมินอัตราความร้อนที่สูญเสียรวมไปถึงอัตราการไหลของไอลในท่อได้ จากการทดสอบของการไหลของน้ำมันร้อนที่ไอลในท่อกลม และอากาศร้อนที่ไอลในท่อกลมและท่อสี่เหลี่ยมทุกจำนวนย่างค่า พบว่าค่าอัตราการไหลโดยที่ประเมินได้มีค่าใกล้เคียงกับผลการทดลอง โดยมีความคลาดเคลื่อนน้อยกว่า 10% เมื่อค่าอัตราส่วนของอุณหภูมิแตกต่างระหว่างผนังท่อและของอากาศ โดยรอบที่ค่าแห่งนี้เริ่มต้นจากการวัดอุณหภูมิ เทียบกับอุณหภูมิแตกต่างดังกล่าวที่ค่าแห่งนี้สุดท้ายของการวัดอุณหภูมิตามแนวท่อ มีค่ามากกว่า 2 กรณีของอากาศร้อนไอลผ่านท่อกลม และมากกว่า 1.4 กรณีอากาศร้อนไอลในท่อสี่เหลี่ยม และ 1.02 กรณีน้ำมันร้อนไอลในท่อกลม

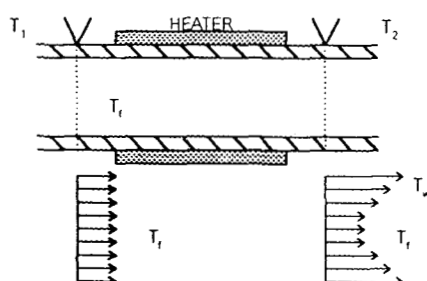
Abstract

A method for estimating mass flow rate of hot fluid flowing inside insulated duct without any inserted-sensor has been proposed. With the duct surface temperature measurement, the heat loss from the fluid could be evaluated and also the fluid mass flow rate. To verify the model, some experiments have been carried out. Heated heat transfer oil and heated air of about 50-90°C are the fluids fed through different sizes circular and rectangular ducts. From the experiment, it could be found that as the temperature difference ratio $(T_{w1}-T_a)/(T_{w2}-T_a)$ is over 2 for and 1.4 for air flowing in circular and rectangular ducts and over 1.04 for hot oil flowing in circular duct, the deviation of the estimated mass flow rate from the measured value is less than 10%

1 บทนำ

ในการตรวจสอบสภาพการใช้พลังงาน ปัญหาที่มักจะพบอยู่เสมอคือการวัดค่าอัตราการไหลของของไอลทำงาน ทั้งนี้ผู้ประกอบการส่วนใหญ่ไม่ได้ทำการติดตั้งอุปกรณ์วัดอัตราการไหลไว้ที่อุปกรณ์ต่างๆ และเมื่อต้องการทราบอัตราการไหล โดยการติดตั้งอุปกรณ์วัดเข้าไป จะต้องทำการตัดต่อท่อทางเดินของของไอล ซึ่งในทางปฏิบัติทางเจ้าของกิจการจะไม่ต้องการให้ดำเนินการเช่นนั้น เพราะมีผลกระทบต่อระบบวนการผลิต และถึงแม้ในปัจจุบันมีอุปกรณ์วัดอัตราการไหลประเภทอัลตร้าโซนิก (Ultrasonic Flowmeter) แต่อุปกรณ์ดังกล่าว สามารถวัดของไอลได้บางชนิดเท่านั้น อีกทั้งมีราคาค่อนข้างแพง ดังนั้นผู้ทำการตรวจสอบการใช้พลังงาน จะต้องหาเทคนิคต่างๆ มาประเมินค่าอัตราการไหลของของไอลทำงาน

เทคนิคนี้ที่มีการนำมาใช้มากที่สุด คือการประเมินค่าอัตราการไหลจากอุณหภูมิของผนังท่อ Wijeyasundera et al [1] ได้ใช้วัดความร้อนให้ความร้อนแก่น้ำที่ไอลในท่อทรงกระบอกหุ้มฉนวนอย่างดี และวัดอุณหภูมิผิวท่อตรงบริเวณก่อนและหลังของค่าแห่งที่ติดตั้งจุดความร้อน ดังแสดงในรูปที่ 1



รูปที่ 1 ลักษณะของอุปกรณ์และอุณหภูมิของไอลภายในท่อ
โดยใช้เทคนิคของ Wijeyasundera et al. [1]

Keywords : Mass flow rate estimation, flow measurement,
Thermal flowmeter.

ค่าอัตราความร้อนที่สูดความร้อนให้แก่ของไอล Q จะก่อให้เกิดการถ่ายเทความร้อนโดยการพาความร้อนให้กับของไอล โดย

$$Q = hA(T_w - T_f) \quad (1)$$

เนื่องจาก T_1 จะมีค่าใกล้เคียงกับ T_{1A} และ T_2 มีค่าใกล้เคียงกับ T_{wB} ดังนั้น

$$Q = hA(T_2 - T_1) \quad (2)$$

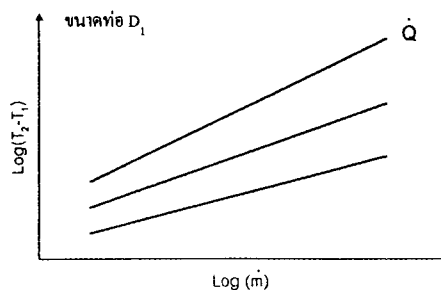
สำหรับค่าสัมประสิทธิ์การถ่ายเทความร้อน h จะขึ้นกับอัตราการไอลของของไอล

$$h = f_1(m) \quad (3)$$

จากสมการ (2) และ (3) อาจกล่าวได้ว่า อัตราการไอลโดยมวลจะขึ้นกับอัตราความร้อนจากมวลความร้อน และอุณหภูมิแตกต่างที่ผิวผนังท่อ ($T_2 - T_1$) โดย

$$m = f_2[Q, (T_2 - T_1)] \quad (4)$$

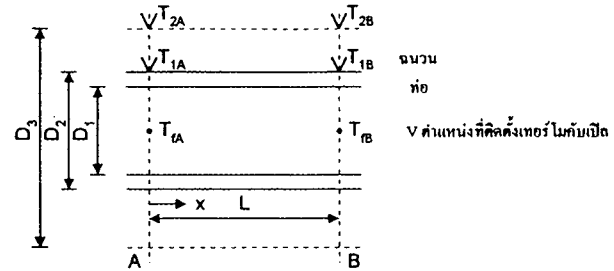
หากจะผู้วิจัยจึงได้หาความสัมพันธ์ระหว่างอัตราการไอล และผลต่างของอุณหภูมิ ($T_2 - T_1$) ในท่อขนาดต่างๆ โดยมีลักษณะแสดงในรูปที่ 2



รูปที่ 2 ลักษณะความสัมพันธ์ระหว่างอัตราการไอล กับ Q และ $(T_2 - T_1)$ ที่ขนาดท่อต่างๆ

ดังนั้นในการใช้เทคนิคดังกล่าว จะต้องมีการทดสอบกับท่อขนาดเดียว กันกับที่ต้องการจะไปทำการวัดจริง และหาความสัมพันธ์ก่อน

ทฤษฎีริด และประสิก [2] ได้ใช้เทคนิคที่ตรงข้ามกัน ก็อแทกน์ที่จะป้อนความร้อนให้แก่ของไอล จะพิจารณาความร้อนที่สูญเสียจากของไอลร้อนในท่อสูสีงวดล้อม โดยทำการวัดอุณหภูมิของผิวท่อและผิวนวนของท่อ ซึ่งมีลักษณะการคิดตั้งค่าแทนของอุณหภูมิวัด ดังรูปที่ 3



รูปที่ 3 ค่าแทนของการคิดตั้งอุณหภูมิในการประเมินอัตราการไอล

ค่าอัตราการไอลสูญเสียความร้อน จากของไอลสู่ภายนอกต่อหน่วยความยาวสามารถคำนวณโดย

$$Q'_{loss} = \frac{2\pi k_1(T_1 - T_2)}{\ln(D_2/D_1)} \quad (5)$$

ดังนั้นอัตราการความร้อนสูญเสียตลอดความยาวจากค่าแทน A ถึง B ที่ทำการวัดอุณหภูมิ Q'_{loss} จะคำนวณได้โดย

$$Q_{loss} = \int_A^B Q dx = \int_A^B \frac{2\pi k_1(T_1 - T_2)}{\ln(D_3/D_2)} dx$$

ในการศึกษาได้ใช้ค่าอุณหภูมิแตกต่างเฉลี่ย ดังนี้

$$Q_{loss} = \frac{(T_1 - T_2)_{ave}}{\frac{1}{2\pi k_1} \ln(D_3/D_2)} L \quad (6)$$

โดย $(T_1 - T_2)_{ave} = \frac{(T_1 - T_2)_A + (T_1 - T_2)_B}{2}$

ค่าอัตราการสูญเสียความร้อนต่อหน่วยความยาวที่หน้าตัดๆ ในสมการ (5) ยังอาจคำนวณได้จาก

$$\begin{aligned} Q_{loss} &= \frac{T_1 - T_2}{\frac{1}{2\pi k_1} \ln(D_3/D_2)} = \frac{T_f - T_2}{\frac{1}{\pi U_1 D_1} + \frac{1}{2\pi k_1} \ln\left(\frac{D_2}{D_1}\right) + \frac{1}{2\pi k_1} \ln\left(\frac{D_3}{D_2}\right)} \\ &= \frac{T_f - T_2}{\frac{1}{\pi U_1 D_1}} \\ \text{หรือ } T_f &= T_2 + \frac{\left(\frac{1}{\pi U_1 D_1}\right)}{\left(\frac{1}{2\pi k_1} \ln(D_3/D_2)\right)} (T_1 - T_2) \\ \text{นั่นคือ } T_{fA} &= T_{2A} + \frac{\left(\frac{1}{\pi U_1 D_1}\right)(T_1 - T_2)_A}{\left(\frac{1}{2\pi k_1} \ln(D_3/D_2)\right)} \\ T_{fB} &= T_{2B} + \frac{\left(\frac{1}{\pi U_1 D_1}\right)(T_1 - T_2)_B}{\left(\frac{1}{2\pi k_1} \ln(D_3/D_2)\right)} \end{aligned} \quad (7)$$

และอัตราการสูญเสียความร้อนจากของไอลจากตำแหน่ง A ถึง B

$$Q_{\text{loss}} = m C_p (T_{fA} - T_{fB})$$

หรือ

$$m = \frac{Q_{\text{loss}}}{C_p (T_{fA} - T_{fB})} \quad (8)$$

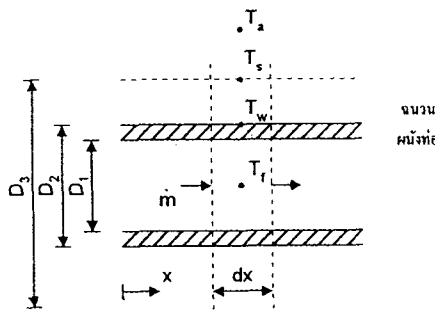
Q_{loss} , T_{fA} และ T_{fB} สามารถประมาณจากสมการ (6) และ (7) ซึ่งจะทำให้สามารถคำนวณอัตราการไอลของของไอลได้

เทคนิคดังกล่าวสามารถทำได้เมื่อยาน้ำ ถ้าทำการวัดอุณหภูมิ T_1 และ T_2 ตลอดความยาวของท่อ และ หาความสัมพันธ์ของ $(T_1 - T_2)$ ตามระยะทางของท่อ

สำหรับในงานวิจัยนี้ เป็นการพัฒนางานของท่านเกียรติและประศิลป์ โดยทำการวัดเพียงอุณหภูมิของผนังท่อและอุณหภูมิของอากาศรอบๆ และหาเทคนิคในการไอลของไอลร้อนในท่อลักษณะต่างๆ ทั้งท่อกลมและสี่เหลี่ยมรวมถึงการหาข้อจำกัดของเทคนิคที่ได้พัฒนาขึ้น

2. เทคนิคการประเมินค่าอัตราความร้อน

จากรูปที่ 4 ของไอลร้อนไอลในท่อและมีการสูญเสียความร้อนสูงแวดล้อมเพื่อพิจารณาที่ตำแหน่ง dx จะได้สมดุลพลังงาน ดังนี้



รูปที่ 4 ลักษณะของท่อ และอุณหภูมิที่พิจารณา

$$-m C_p dT_f = U_3 \pi D_3 (T_f - T_a) dx \quad (9)$$

ซึ่งสามารถหาความสัมพันธ์ระหว่างอุณหภูมิของไอล T_f กับ ระยะทางที่ตำแหน่ง x ได้ ตามกิสทางการไอลได้เป็น

$$T_f(x) - T_a = C_1 e^{-U_3 \pi D_3 x / m C_p} \quad (9)$$

จะเห็นได้ว่าอุณหภูมิแตกต่างระหว่างอุณหภูมิของไอล และ อุณหภูมิอากาศโดยรอบแปรตามระยะทาง x ในลักษณะของ exponential

ขณะเดียวกัน อัตราความร้อนสูญเสียต่อหน่วยความยาว ของไอลสู่อากาศรอบๆ ที่สภาวะคงดัว จะเท่ากับอัตราการสูญเสียความร้อนต่อหน่วยความยาวจากผนังท่อไปยังอากาศรอบๆ โดย

$$U_3 \pi D_3 (T_f - T_a) = U_2 \pi D_2 (T_w - T_a) \quad (10)$$

หรือ

$$T_w - T_a = \frac{U_3 D_3}{U_2 D_2} (T_f - T_a)$$

นั้นคือ ค่าความแตกต่างของอุณหภูมิผนังกับอากาศ $(T_w - T_a)$ จะมีลักษณะเช่นเดียวกับ $(T_f - T_a)$ จะได้

$$T_w - T_a = C_2 e^{-U_3 \pi D_3 x / m C_p} = C_2 e^{-Bx} \quad (10)$$

โดย $C_2 = C_1 U_3 D_3 / U_2 D_2$ และ $B = U_3 \pi D_3 / m C_p$

จากสมการ (10) จะเห็นว่า ถ้าทำการวัดค่าอุณหภูมิแตกต่างระหว่าง $T_w - T_a$ ตามระยะทางในทิศทางการไอลของของไอล x จะสามารถทำ curve fitting และหาค่า C_2 และ B ได้ และเนื่องจาก $B = U_3 \pi D_3 / m C_p$ จะสามารถคำนวณอัตราการไอลโดยมวลโดย

$$m = U_3 \pi D_3 / BC_p \quad (11)$$

อย่างไรก็ตามค่า U_3 ซึ่งเป็นสัมประสิทธิ์การสูญเสียความร้อนรวมของไอลในท่ออย่างอากาศรอบๆ ซึ่งค่าดังกล่าวขึ้นกับ อัตราการไอลของของไอล เช่นกัน ดังนั้นในการหาค่าอัตราการไอล m จะต้องทำการสมมุติค่าอัตราการไอล และทำการคำนวณแบบลอกผิด-ลอกถูก ความสามารถค่าที่ถูกต้องได้ ค่า U_3 สามารถคำนวณโดย

$$\frac{1}{U_3} = \frac{D_3}{D_1 h_i} + \frac{D_3 \ln(D_2/D_1)}{2k_p} + \frac{D_3 \ln(D_3/D_2)}{2k_l} + \frac{1}{h_o} \quad (12)$$

ในการผิดที่ก่อไม่ทุ่มจนวนคำความด้านท่อ $D_3 \ln(D_3/D_2)/2k_l$ จะมีค่าเป็นศูนย์ และถ้าท่อเป็นสี่เหลี่ยม คำความด้านท่อที่เกิดขึ้นจะพิจารณาในแต่ละด้าน แทนที่จะเป็นลักษณะของท่อกลม

ค่าสัมประสิทธิ์การพากความร้อนของของไอลในท่อ h , สามารถคำนวณจาก

$$h_i D_1 / k = 3.66 ; Re_D < 2000$$

$$= \frac{(f/8)(Re_D - 1000)Re}{1 + 12.7(f/8)^{1/2}(Re^{2/3} - 1)} ; Re_D > 2300 \quad (13)$$

$$\text{โดย } f = (0.79 \ln \frac{D}{D} - 1.64)^{-2} \text{ กรณีท่อเรียบ} \quad (14)$$

สำหรับท่อที่ไม่เป็นห้องกลม ค่า D_1 จะใช้ค่าของเสียผ่านศูนย์กลางไชโตริก โดย โดย

$$D_1 = 4Ac / P \quad (15)$$

Ac คือพื้นที่หน้าตัดในการไหล และ P คือเส้นรอบวงปุ่งท่อที่สัมผัสกันของไหล

สำหรับค่าสัมประสิทธิ์การพาความร้อนด้านนอกที่สัมผัสกับอากาศ h_o สามารถคำนวณได้โดยตรง จากค่าอัตราความร้อนสูญเสียความร้อนที่ประเมินจากอุณหภูมิผิวท่อ และอุณหภูมิจวนดลอดความยาวที่วัดอุณหภูมิโดย

$$Q'_{loss} = \int_0^L \left(\frac{T_w - T_s}{\frac{1}{2\pi k_1} \ln \frac{D_3}{D_2}} \right) dx$$

เช่นเดียวกัน

$$\frac{\frac{T_w - T_s}{1}{\ln \frac{D_3}{D_2}}}{2\pi k_1} = \frac{\frac{T_f - T_a}{1}}{U_3 \pi D_3}$$

ดังนั้น $(T_w - T_s)$ สามารถเขียนในรูป

$$(T_w - T_s) = C_3 e^{-Bx} \quad (16)$$

นั่นคือ

$$Q'_{loss} = \int_0^L \left(\frac{C_3 e^{-Bx}}{\frac{1}{2\pi k_1} \ln \frac{D_3}{D_2}} \right) dx$$

$$= \frac{2\pi k_1 C_3}{-B \ln \frac{D_3}{D_2}} [e^{-BL} - 1] \quad (17)$$

สำหรับท่อสีเหลี่ยม $Q_{loss} = \frac{k_1 PC_3}{-Bt} [e^{-BL} - 1] \quad (18)$

t คือความหนาของจวน และ P คือ ความยาวเส้นรอบวงปุ่งด้านนอกของจวน จากการวัดอุณหภูมิ T_w และ T_s ตลอดความยาว L ที่ทดสอบ ค่าที่ได้สามารถทำ curve fitting ในรูปของสมการ (16) ซึ่งจะได้ค่า C_3 และ B และสามารถคำนวณ Q_{loss} สมการ (16) ได้ ค่า B ที่ได้ควรมีค่าใกล้เคียงกับค่าที่ได้จากการทำ curve fitting ของ $(T_w - T_a)$ กับค่า x ค่าสัมประสิทธิ์การพาความร้อน h_o จะหาจาก

$$h_o = \frac{Q_{loss}}{\pi D_3 L (\Delta T)_{lm}} \text{ ในกรณีท่อทรงกระบอก}$$

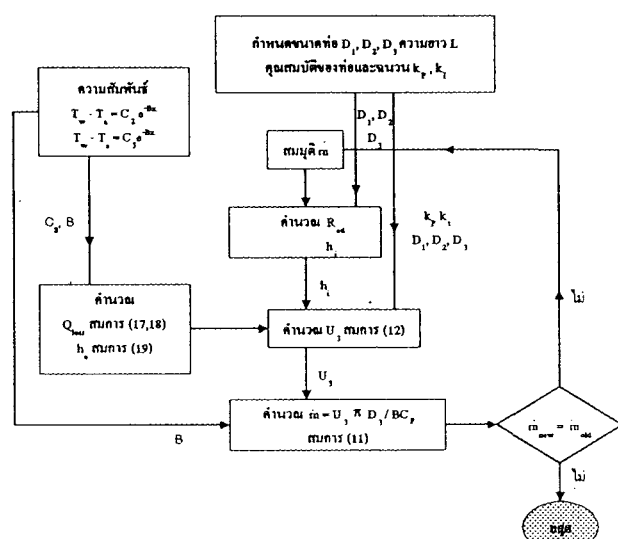
$$= \frac{Q_{loss}}{PA(\Delta T)_{lm}} \text{ กรณีท่อสีเหลี่ยม} \quad (19)$$

โดย $(\Delta T)_{lm} = \frac{T_{w1} - T_{w2}}{\ln \left(\frac{T_{w1} - T_a}{T_{w2} - T_a} \right)} \quad (20)$

T_{w1} และ T_{w2} คืออุณหภูมิผิวท่อที่ต้นทางและปลายทางของการวัดอุณหภูมิที่ $x = 0$ และ $x = L$ ตามลำดับ

กรณีท่อเปลือยก็ไม่ได้หักจนวนค่า h_o อาจประเมินโดยตรงจากสมการข้อมูลของการถ่ายเทความร้อน โดยพิจารณาจากสภาพการถ่ายเทความร้อนที่สั่งແວลดลงมาเป็นลักษณะใด โดยอาจอยู่ในรูปของ การพาความร้อนแบบบังคับหรือแบบอิสระ ทั้งนี้อาจมีผลของการแห้งสิ่งความร้อน ประกอบด้วย

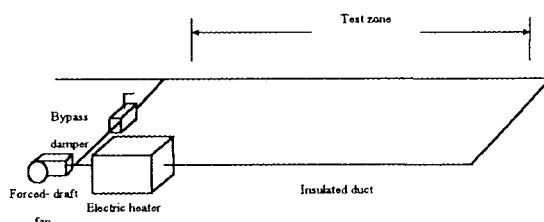
ขั้นตอนในการคำนวณคำนวณสามารถแสดงได้ในรูปที่ 5



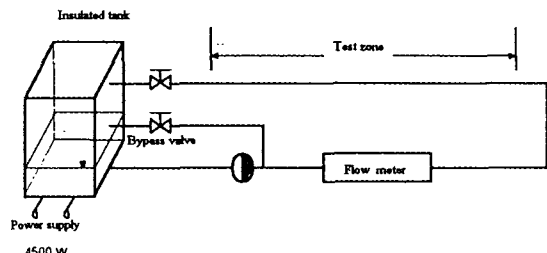
รูปที่ 5 ขั้นตอนในการคำนวณค่าอัตราการไหล

3. วิธีดัดแปลงการทดสอบ

ในการทดสอบความถูกต้องของวิธีการที่เสนอในหัวข้อที่แล้ว จะมีการป้อนของไหลร้อนที่เป็นก๊าซ คืออากาศและของไหลร้อนที่เป็นของเหลวได้แก่ น้ำ และน้ำมัน ให้ไหลไปตามท่อทรงกระบอกขนาดต่างๆ และในการเพิ่งอากาศจะมีการไหลในท่อสีเหลี่ยมด้วย ลักษณะของชุดทดสอบแสดงในรูปที่ 6



ก. ชุดทดสอบเมื่อข้อ 4 ให้เป็นอากาศร้อน



ข. ชุดทดสอบเมื่อของไหลทำงานเป็นน้ำและน้ำมันร้อน

รูปที่ 6 ลักษณะของอุปกรณ์ทดสอบ

ขนาดของห่อที่ใช้ในการทดสอบอากาศ :

ห้องระบบอุ่น ขนาดเส้นผ่านศูนย์กลาง 50.8 mm หุ้มฉนวนยาง
ค่าหนา 6.35 mm
ขนาดเส้นผ่านศูนย์กลาง 101.6 mm หุ้มฉนวน
ยางค่าหนา 6.35 mm

ห้องสีเหลี่ยม ขนาดเส้นผ่านศูนย์กลาง 25.4 mm หุ้มฉนวนยาง
ค่าหนา 6.35 mm

ขนาดของห่อที่ใช้ในการทดสอบน้ำมัน :

ห้องระบบอุ่น ขนาดเส้นผ่านศูนย์กลาง 25.4 mm หุ้มฉนวนยาง
ค่าหนา 6.35 mm

ขนาดของห่อที่ใช้ในการทดสอบก๊าซ :

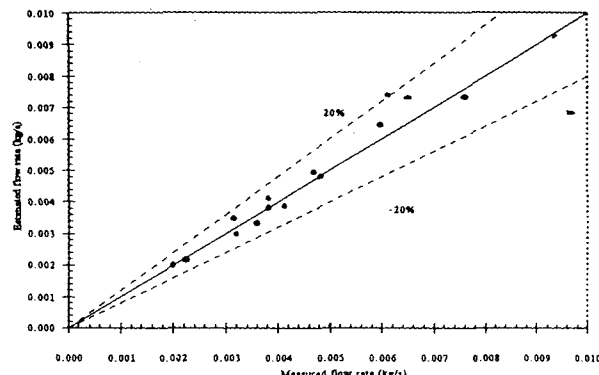
ห้องระบบอุ่น ขนาดเส้นผ่านศูนย์กลาง 25.4 mm ไม่หุ้มฉนวน

ความยาวในการวัดอุณหภูมิผิวห่อและผิวนวนในบริเวณที่ทดสอบ จะมีค่า 2.4 และ 6 m และอุณหภูมิของไหลร้อนที่เข้าห้องทดสอบไม่เกิน 90°C และอัตราการไหลของของไหลจะอยู่ในช่วงการไหลแบบวนเรียบ และแบบปั่นป่วน ส่วนหัวอัตราการไหลของอากาศ จะวัดค่าความเร็วที่ ค่าแห่งคงตัว ที่พื้นที่หน้าตัดเดียวกัน และมาคำนวณหาค่าเฉลี่ยและ คำนวณอัตราการไหลโดยมวล ส่วนกรณีน้ำมันและน้ำ จะอ่านโดยตรง จากอุปกรณ์วัดอัตราการไหลอุณหภูมิผิวห่อและผิวนวน และอุณหภูมิอากาศ จะวัดโดยเทอร์โมคัพเพลชนิต K ต่อ กับอุปกรณ์บันทึกข้อมูล ใน การเก็บข้อมูลจะเริ่มทำเมื่อระบบอยู่ในสภาวะคงตัว

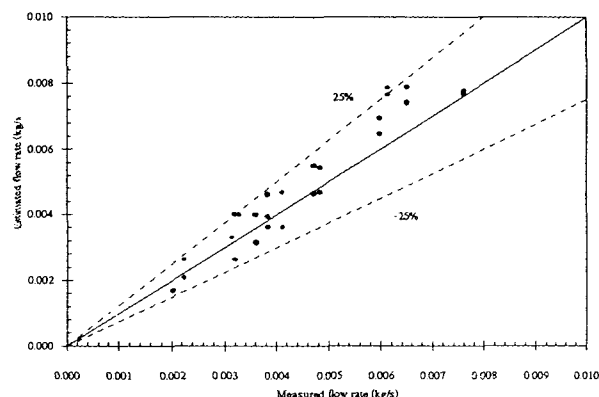
4. ผลการทดสอบ

4.1 กรณีของไหลเป็นอากาศ

รูปที่ 7 แสดงผลการเบริญค่าอัตราการไหลโดยมวลของอากาศที่ไหลในห้องระบบอุ่นที่ค่าวนได้จากวิธีที่กล่าวมาแล้วข้างต้น เทียบ กับค่าที่วัดได้จากการทดสอบอัตราการไหล ในการนี้ที่ความยาวที่พิจารณา ยาวมากขึ้น ผลที่ประเมินได้จะใกล้เคียงกับค่าที่วัดได้ถูกต้องมากขึ้น



ก. ความยาวที่พิจารณา 6 m

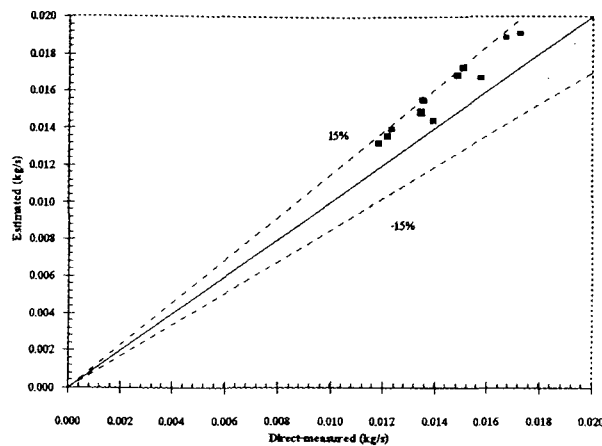


ข. ความยาวที่พิจารณา 4 m

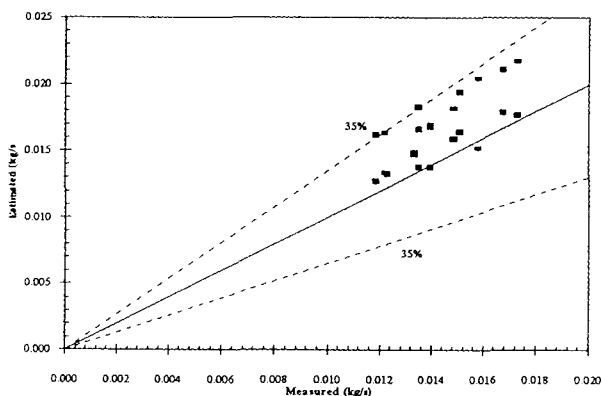
รูปที่ 7 ผลการเบริญเทียบการไหลของอากาศที่ค่าวนจาก เทคนิคที่นำเสนอด้วยกับผลการวัดค่าอัตราการไหลจากอุปกรณ์วัด กรณีอากาศไหลในห้องระบบอุ่น โดยระยะทางที่วัดอุณหภูมิ มีระยะ ค่าคงตัว กับ และขนาดเส้นผ่านศูนย์กลางของห่อ 50.8 mm หุ้มฉนวนยาง ค่าหนา 6.35 mm

การที่ ระยะในการวัดอุณหภูมิยาวขึ้น จะมีค่าอุณหภูมิแตกต่างตาม ระยะทางมากขึ้น ทำให้ความไม่น่าเชื่อถือ (uncertainty) ของอุณหภูมิที่ ได้จากการวัดมีผลต่อค่า B ในสมการ (16) และ (18) น้อยลง กล่าวคือ ค่า B จะมีความแม่นยำสูงขึ้น ดังนั้นในการกำหนดระยะที่อุณหภูมิ ควรมีระยะทางที่ยาวเพียงพอที่จะทำให้อุณหภูมิลดลงอย่างชัดเจน

รูปที่ 8 แสดงผลการคำนวณอัตราการไหลจากวิธีที่นำเสนอด้วย ของอากาศไหลในห้องสีเหลี่ยม เทียบกับค่าที่วัดได้จากเครื่องมือวัด เช่น เดียว กับพบว่า เมื่อระยะทาง ที่ใช้ทดสอบในการวัดอุณหภูมิยาวขึ้น ค่า ทั้งสองจะมีค่าใกล้เคียงกันมากขึ้น



ก. ความยาวท่อพิจารณา 6 m

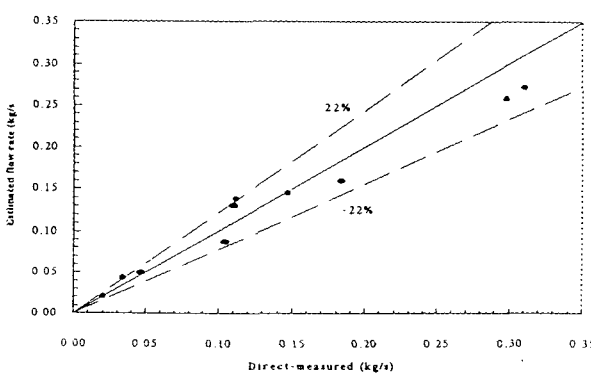


ข. ความยาวท่อพิจารณา 4 m

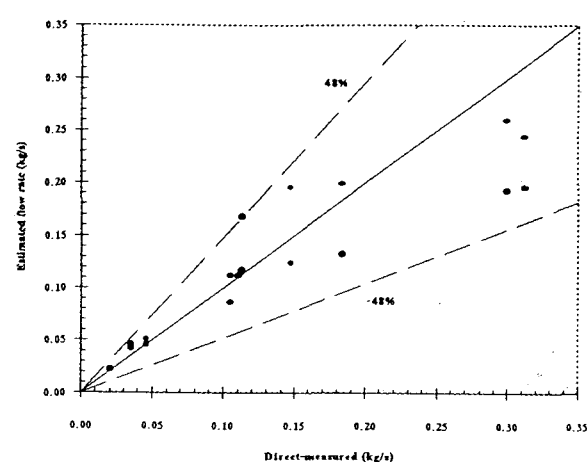
รูปที่ 8 การไหลของอากาศในท่อสีเหลี่ยมขนาด $101.6 \text{ m} \times 101.6 \text{ m}$
หุ้มจำนวนยางค่าหนา 6.35 mm

4.2 กรณีของไอลเป็นน้ำมัน

รูปที่ 9 แสดงผลการเปรียบเทียบของค่าอัตราการไหลที่ประเมินได้ เทียบกับค่าที่วัดจริง ในกรณีของน้ำมันไอลในท่อกลม ถ้าระ夷ทางที่ทำ การวัดอุณหภูมิยาวขึ้น ผลที่ได้จากคำนวณจะใกล้เคียงมากขึ้นกับค่าที่วัดจริง



ก. ความยาวท่อพิจารณา 6 m



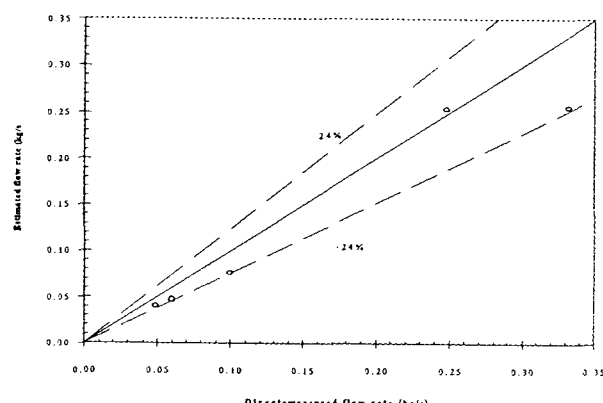
ข. ความยาวท่อพิจารณา 3 m

รูปที่ 9 การไหลของน้ำมันในท่อกลม ขนาดเส้นผ่านศูนย์กลาง

25.4 mm หุ้มจำนวนยางค่าหนา 6.35 mm

4.3 กรณีของไอลเป็นน้ำ

สำหรับกรณีของน้ำ เนื่องจากค่าความจุความร้อนของน้ำมีค่าสูง ของท่อที่วัดได้ไม่เปลี่ยนแปลงมากนัก ดังนั้นเพื่อให้อุณหภูมิของผิวห่อลดลงเพื่อให้สามารถวัดค่าความแตกต่างได้ จึงใช้ห่อที่ไม่หุ้มจำนวน และค่า h_0 ในสมการ (19) จะคำนวณจากข้อมูลของการถ่ายเทความร้อน กรณีของการพากความร้อนตามธรรมชาติ ซึ่งผลที่ได้จากการคำนวณมีค่าใกล้เคียงกับค่าที่วัดได้จริงพอสมควร ดังแสดงในรูปที่ 10



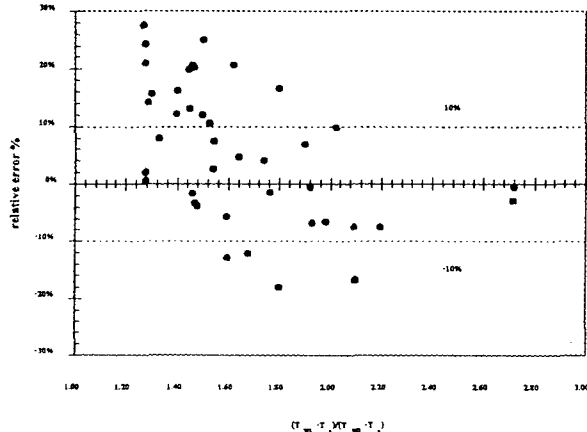
รูปที่ 10 การไหลของน้ำในท่อกลมขนาด
เส้นผ่านศูนย์กลาง 25.4 mm ไม่หุ้มจำนวน

4.4 พารามิเตอร์ที่ใช้ระบุขีดจำกัดของเทคนิคที่นำเสนอ

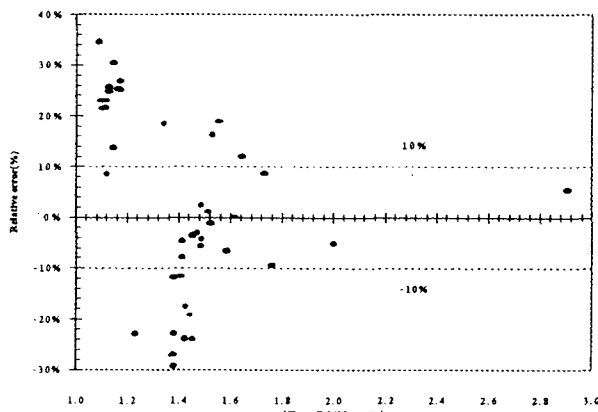
จากผลที่กล่าวมาแล้วข้างต้น เทคนิคดังกล่าวจะมีค่าความเชื่อถือในการประเมินอัตราการไหลได้สูง เมื่ออุณหภูมิของท่อวัดได้ตามระ夷ทางของการไหลมีค่าแตกต่างกันอย่างชัดเจน ในกรณีของไอลมีอัตราการไหลสูงหรือมีค่าความจุความร้อนสูง ค่าความเชื่อมั่นลดลงเนื่องจากอุณหภูมิที่ผิวห่อไม่เปลี่ยนแปลงมากนัก และทำให้ค่า B ที่ได้จากการทำ curve fitting มีค่าความเชื่อถือลดลง สำหรับในงานวิจัยนี้ ได้เสนอค่าอัตราส่วนอุณหภูมิแตกต่าง $(T_{w1} - T_s) / (T_{w2} - T_s)$ โดย T_{w1}

และ T_{w2} เป็นอุณหภูมิผิวท่อที่ระยะทางเริ่มต้นในการวัดและสั้นสุดของ การวัดอุณหภูมิ

รูปที่ 11 แสดงค่าความเบี่ยงเบนของค่าที่ได้จากการคำนวณโดยวิธี ที่นำเสนอ จากค่าการวัดจริงในกรณีของไอลท์ที่เป็นอากาศ ไอลในท่อ ของระบบอุกขณาดั่งๆ จะเห็นได้ว่าเมื่อค่าอัตราส่วนของอุณหภูมิจัง กลามีค่าน้อย ซึ่งแสดงให้เห็นว่า T_{w1} และ T_{w2} มีค่าต่างกันไม่มากจะมี ความแม่นยำค่อนข้างดี แต่เมื่อ T_{w1} และ T_{w2} มีค่าแตกต่างกันมากหรือ ค่าอัตราส่วนของอุณหภูมิค่อนข้างมาก ค่าความแม่นย้ำจะเพิ่มขึ้น จากรูป จะเห็นว่ากรณีของอากาศไอลในท่อกรณีความผิดพลาดจะอยู่ในช่วง $\pm 10\%$ เมื่อค่าอัตราส่วนอุณหภูมิแตกต่างมากกว่า 2



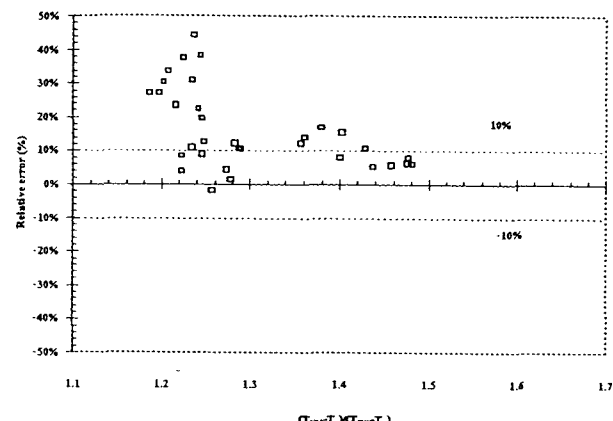
ก. ท่อขนาด 50.8 mm



ข. ท่อขนาด 101.6 mm

รูปที่ 11 ความคลาดเคลื่อนจากค่าที่ได้จากการคำนวณเทียบกับ ค่าที่วัดจริง กรณีอากาศไอลในท่อระบบอุกขณาด

เช่นเดียวกัน กรณีหากอุกขณาดไอลในท่อสีเหลี่ยมขนาด 101.6 mm x 101.6 mm ค่าความแม่นยำจะเบี่ยงเบนไม่เกิน $\pm 10\%$ เมื่อค่า อัตราส่วนอุณหภูมิแตกต่างมากกว่า 1.4 ผลที่เกิดขึ้นแสดงในรูปที่ 12



รูปที่ 12 ความคลาดเคลื่อนกรณีของอากาศไอลใน ท่อสีเหลี่ยมขนาด 101.6 mm x 101.6 mm

สำหรับกรณีของน้ำมันร้อนไอลในท่อระบบอุกขณาด พบร่วมกับความ คลาดเคลื่อนจะอยู่ในช่วงไม่เกิน $\pm 10\%$ เมื่อค่าอัตราส่วนอุณหภูมิแตก ต่างมากกว่า 1.02

5. สรุป

จากการศึกษาข้างต้นจะเห็นได้ว่าเทคโนโลยีที่นำเสนอสามารถนำมา ใช้ประเมินค่าอัตราการหล่อของไอล ที่เป็นกําชีวิตร้อกอากาศหรือของ เหลว เช่นน้ำมัน หรือน้ำร้อน ได้ โดยที่อุณหภูมิแตกต่างของผิวท่อที่วัด ตามระยะทางในทิศทางการไหลต้องมีค่าแตกต่างพอสมควร โดยในการ ศึกษานี้ ค่าอัตราส่วนแตกต่าง $(T_{w1} - T_a) / (T_{w2} - T_a)$ จะถูกนำมาเป็น คําชนิดในการเลือกระยะในการวัดอุณหภูมิ โดย กรณีของอากาศไอลในท่อกรณีค่า $(T_{w1} - T_a) / (T_{w2} - T_a)$ ความมีค่าเกิน 2 กรณีของอากาศไอลในท่อเหลี่ยมค่า $(T_{w1} - T_a) / (T_{w2} - T_a)$ ความมีค่าเกิน 1.4 กรณีของน้ำมันไอลในท่อกรณีค่า $(T_{w1} - T_a) / (T_{w2} - T_a)$ ความมีค่าเกิน 1.02

6. กิจกรรมประการ

งานวิจัยนี้ได้รับการสนับสนุนวิจัย จากเงินงบประมาณการวิจัย ประจำปี 2541 มหาวิทยาลัยเชียงใหม่

เอกสารอ้างอิง

- 1) Wijeyesundara, J.L. Ho and C.K. Yeo, A design of the thermal flowmeter, Proc. 4th ASEAN Energy Conf., November, 1987, Singapore, pp. 391-400.
- 2) ทงเกียรติ เกียรติศิริโรจน์ และประสิทธิ์ ใจงาม, การประเมิน อัตราการไหลโดยใช้หลักการสูญเสียความร้อน, วิศวกรรมสาร, ปีที่ 43 ฉบับที่ 4, 2533, หน้า 102-104.

รายการสัญลักษณ์

A	พื้นที่ผิวในการถ่ายเทความร้อน, m^2
C_p	ความจุความร้อนจำเพาะ, J/kgK
D	ขนาดเส้นผ่านศูนย์กลาง, m
k	สัมประสิทธิ์ในการนำความร้อน, W/mK
h	สัมประสิทธิ์การพาความร้อน, W/m^2K
L	ความยาว, m
m	อัตราการไหลโดยมวลของของไหล, kg/s
Q	อัตราการถ่ายเทความร้อนต่อหน่วยความยาว, W/m
Q'	อัตราการถ่ายเทความร้อน, W
T	อุณหภูมิ, $^{\circ}C$
ΔT_{in}	ค่าอุณหภูมิแตกต่างเชิงลึก, $^{\circ}C$